

تعیین زاویه پاشش سوخت بهینه برای یک موتور اشتعال حرقه‌ای پاشش مستقیم (GDI) با شبیه‌سازی عددی

علی میرمحمدی*

شعبان علیاری شوره دلی

سیدعبدالله موسوی

هادی بنایی بروجنی

چکیده

مجموعه پاشش مستقیم سوخت به اتاق احتراق به جای پاشش در راهگاه ورودی یکی از راهکارهای مؤثر برای کاهش مصرف سوخت و گازهای آلاینده خروجی موتور است. با این راهبرد در حالی که مصرف سوخت موتور کاهش چشمگیری می‌یابد قدرت موتور نیز حفظ می‌شود. هدف این پژوهش تعیین زاویه مناسب افسانه سوخت برای یک موتور پاشش مستقیم سوخت در حالت بار چینهای است. به همین منظور ابتدا موتور EF7 (موتور ملی) به صورت پاشش در راهگاه ورودی به صورت عددی در نرم افزار کیوا شبیه‌سازی شد. پس از مقایسه نتایج این شبیه‌سازی با نتایج تجربی و صحة‌گذاری داده‌های شبیه‌سازی، راهبرد پاشش مستقیم جایگزین سیستم پاشش در راهگاه ورودی شد. سپس زاویه مناسب پاشش سوخت برای کارکرد موتور در حالت پاشش مستقیم و بار چینهای تعیین گردید. نتایج شبیه‌سازی نشان داد که پاشش مستقیم سوخت در داخل سیلندر باعث توسعه و ایجاد بردارهای سرعت جریان با اندازه بزرگتر در تمام اتاق احتراق می‌شود. این امر باعث اختلال، تبخیر و احتراق بهتر خواهد شد. زاویه پاشش ۹۰ درجه بهترین زاویه پاشش در شرایط کاری تعیین شده موتور EF7 است. در این حالت سوخت و هوای مخلوط می‌شود. فشار داخل سیلندر و کار حاصل چرخه در این زاویه پاشش در مقایسه با زوایای دیگر افزایش یافت. همچنین مقدار تولید هیدروکربن نسوخته، مونوکسید کربن و اکسید نیتروژن، کمتر از زاویه‌های پاشش دیگر است.

واژه‌های کلیدی: موتور بنزینی پاشش مستقیم، بار چینهای، شبیه‌سازی عددی، نرم‌افزار کیوا

Appointment of Optimum Fuel Injection Characteristics for a Direct Injection Spark Ignition Engine Using Numerical Simulation

A. Mirmohammadi

Assistant Professor, Faculty of Mechanical Engineering, Shahid Rajaee Teacher Training University

Sh. Alyary Shorehdeli

Assistant Professor, Faculty of Mechanical Engineering, Shahid Rajaee Teacher Training University

S. A. Mousavi

MSc Student, Faculty of Mechanical Engineering, Shahid Rajaee Teacher Training University

H. Banaei Boroujeni

MSc Student, Faculty of Mechanical Engineering, Shahid Rajaee Teacher Training University

Abstract

Replacement of port fuel injection strategy with direct fuel injection to the combustion chamber is one of the effective methods for fuel consumption and emission reduction. With this strategy the engine would have diesel engines low fuel consumption. Also it would have gasoline engines power.

Determination of optimum fuel injection angle in a direct fuel injection stratified charge engine is the object of this research. In this view Iranian nation engine first simulated numerically as port fuel injection using KIVA-3V code. Inlet port injection strategy was replaced with direct injection one hereinafter simulation results was calibrated using experimental data. Then optimum fuel injection was determined for direct injection stratified charge engine.

Simulation results show that flow velocity vectors are bigger because of fuel direct injection to the cylinder. Ninety degree is the best fuel injection angle for determined engine condition. In this way air fuel is mixed better. With this fuel injection angle in cylinder pressure and cycle work increased in comparison to other fuel injection angles. Also, unburned hydrocarbons, carbon monoxide and nitrogen oxide emissions reduced in comparison to other fuel injection angles.

Keywords: Gasoline direct injection, Stratified charge, Numerical simulation, KIVA-3V code

۱- مقدمه

هنگامی که موتور در محدوده بار کم و متوسط کارمی کند، سوخت لحظاتی پیش از جرقه شمع به داخل سیلندر تزریق می‌شود که در این حالت، مخلوط چینهای تشکیل می‌گردد. مهمترین مزیت این روش این است که مصرف سوخت و مقدار آلاینده‌های هیدروکربن نسخته و منوکسیدکربن به طور چشمگیری کاهش می‌یابد. به این نوع راهبرد، راهبرد بار چینهای گفته می‌شود. اما زمانی که موتور در حالت تمام بار کار می‌کند، زمان پاشش به مرحله مکش انتقال می‌یابد. به این ترتیب مخلوطی تقریباً همگن قبل از شروع اشتعال ایجاد می‌شود. البته برای توان بیشینه، مخلوط همگن اندکی غنی است و در بارهای کمتر این مخلوط رقيق‌تر است [۲].

آلکیداس و ال تری گزارش کرده‌اند که موتورهای با پاشش مستقیم بنزین تا ۱۵ درصد نسبت به موتورهای پاشش سوخت در راهگاه ورودی مصرف سوخت کمتری دارند. همچنین آنها گزارش کرده‌اند که در این موتورها تلفات تلمبهای و تلفات گرمایی نسبت به موتورهای پاشش در راهگاه ورودی کمتر است. این نوع موتورها امکان کار با مخلوط‌های رقيق و چینهای را دارا هستند و در آنها می‌توان از نسبت تراکم بیشتری استفاده کرد. تزریق سوخت بنزین در سیلندر موتور مقاومت موتور در برابر ضربه احتراق^۱ را بیشتر می‌کند [۳].

در طراحی و بهینه‌سازی موتورهای درونسوز بیشتر از شبیه‌سازی استفاده می‌شود. هدف از شبیه‌سازی موتور به دست آوردن مشخصات عملکردی آن در زمان طراحی، قبل از ساخت و یا تحت شرایط عملکردی جدید یا بحرانی است که اجرای عملی آن پرهزینه یا غیر ممکن می‌باشد. به طور کلی روش‌های الگوسازی و شبیه‌سازی مصرف سوخت و آلاینده‌های خودرو با استفاده از دو راهکار قابل اجرا است. روش اول استفاده از جدول داده‌ها است که بر اساس منحنی‌های عملکردی هر یک از اجزا به دست می‌آید و به الگوهای ایستایی نیز معروف می‌باشدند. روش دوم استفاده از الگوی پویایی است که بتواند عملکرد اجزا خودرو را در حد مورد نیاز شبیه‌سازی نماید [۴].

صنایع و همکارانش شبیه‌سازی ترمودینامیکی موتورهای اشتعال جرقه‌ای و پیش‌بینی عامل‌های عملکردی موتور و آلاینده‌های حاصل از آن را ارائه کرده‌اند. شبیه‌سازی فرآیندهای مکش و تخلیه به روش پر و خالی شدن و فرآیند احتراق به صورت شبیه دومنطقه‌ای (منطقه سوخته و نسوخته) صورت گرفته است. آنها نتیجه گرفتند اگر زمان جرقه خیلی زودتر از نقطه مرگ بالا باشد تبعاً کار برای تراکم گازها در مرحله تراکم افزایش می‌یابد. از طرف دیگر اگر جرقه با تاخیر زده شود فشار بیشینه گازهای داخل سیلندر دیرتر رخ می‌دهد و در نتیجه کار

امروزه وضع قوانین سختگیرانه حفاظت از محیط زیست برای کاهش آلودگی‌های زیست محیطی و همچنین افزایش قیمت سوخت، طراحان را به سوی طراحی مناسب برای کاهش مصرف سوخت و آلاینده‌های هوا سوق داده است. به همین دلایل مجموعه پاشش سوخت در راهگاه ورودی^۲ جایگزین سوخت آما^۳ شد. در حال حاضر بسیاری از موتورها به صورت پاشش سوخت در راهگاه ورودی تولید می‌شوند. فناوری طراحی این موتورها بسیار توسعه یافته است و در چند دهه گذشته تمرکز بیشتر طراحان بر روی بهسازی مجموعه پاشش سوخت و پایش الکترونیکی آنها بوده است. انواع راهکارها برای بهینه‌ترین حالت مصرف سوخت و آلاینده‌گی در شرایط کاری مختلف این موتورها استفاده شده است و جای کار بیشتر برای بهبود عملکرد این موتورها نیست. با این وجود در حال حاضر نیز طراحان به دنبال کاهش هرچه بیشتر مصرف سوخت و آلاینده‌ها هستند. یکی از راهکارهای نیل به این هدف استفاده از موتورهای بنزینی پاشش مستقیم^۴ است. موتورهای پاشش مستقیم سوخت دارای ظرفیت خوبی برای کاهش مصرف سوخت و آلاینده‌گی گازهای خروجی در حد استانداردهای بین المللی جدید هستند. بسیاری از شرکت‌های خودروسازی در مدل‌های جدید خود از موتورهای بنزینی با پاشش مستقیم سوخت در داخل سیلندر استفاده می‌کنند. این موتورها در توسعه موتورهای بنزینی و در شرایطی طراحی شده‌اند که مزایای موتورهای دیزلی و بنزینی را داشته باشند. با انتقال افسانه سوخت به درون سیلندر می‌توان در بارهای جزئی موتور بار چینهای^۵ به صورت منطقه غنی در اطراف شمع برای شروع احتراق و منطقه رقيق چینهای در ناحیه دورتر از شمع ایجاد کرد و بدین ترتیب نظیر موتورهای دیزلی از مخلوط کلی رقيق‌تر سوخت و هوا که بازده گرمایی بیشتر و آلاینده‌گی کمتری دارد، بهره جست. تحقیقات نشان داده است که برای کاهش مصرف سوخت و تولید آلاینده‌های خروجی استفاده ز موتور بنزینی تزریق مستقیم اشتعال جرقه‌ای چهار زمانه بسیار مناسب است [۱]. مدت زمان کوتاه پاشش و نحوه پخش شدن سوخت درون سیلندر و همچنین فرایند اختلاط سوخت و هوا در گستره وسیعی از سرعت و بارگذاری‌های مختلف، باعث به وجود آمدن تفاوت اساسی در نوع احتراق و شکل‌گیری مخلوط سوخت و هوا نسبت به موتورهای تزریق سوخت در راهگاه ورودی می‌شود. با توجه به زمان پاشش سوخت در این نوع موتورها می‌توان دو نوع مخلوط چینهای یا همگن^۶ ایجاد کرد.

¹ Port fuel injection

² Carburetor

³ Gasoline Direct Injection

⁴ Stratified Charge

⁵ Homogeneous Charge

نینگ دینگ و همکارانش و بیزگی‌های افشاره سوخت یک موتور STAR-CD GDI را در حالت همگن توسط نرم‌افزار شبیه‌سازی کرده‌اند. آنها برای دمایها و فشارهای مختلف هوا و همچنین دمایها و فشارهای مختلف سوخت، عملکرد موتور را بررسی و مقدار پیشروی افشاره سوخت، مقدار ذرات بخار شده و قطر میانگین ذرات نسبت به زمان را برای حالت‌های مختلف به دست آورده‌اند. مقایسه نتایج نشان داد که دمای هوای زیاد و فشار پاشش سوخت تأثیر مطلوب و قابل توجهی بر بخار شدن سوخت و اختلاط مناسب سوخت و هوا دارد [۹].

یانگ ایکسیالونگ و همکارانش در پژوهشی تأثیر محل قرارگیری سوخت پاش را بر عملکرد همگن یک موتور GDI به وسیله شبیه‌سازی عددی بررسی کرده‌اند. آنها دریافتند که محل قرارگیری سوخت پاش در نحوه عملکرد موتور آغاز قابل توجهی دارد. بهینه‌سازی محل قرارگیری سوخت پاش، تأثیر آن بر اتمیزه شدن سوخت و ایجاد مخلوط سوخت و هوای مناسب برای احتراق بهتر از اهداف این پژوهش بوده است [۱۰].

پورقالسمی و همکارانش در پژوهشی به بررسی نحوه کاهش آلاینده‌های دوده و NO_x در پاشش دو مرحله‌ای سوخت در موتورهای دیزل پاشش مستقیم با استفاده از شبیه‌سازی پرداختند. آنها در پژوهش خود به دنبال حالت بهینه پاشش دو مرحله‌ای سوخت به عنوان یک روش مفید و مؤثر برای کاهش همزمان آلاینده‌های دوده و NO_x بوده‌اند. شبیه‌سازی با نرم‌افزار کیو انجام شده است. نتایج به دست آمده از تحقیق نشان داد که راهکار پاشش دو مرحله‌ای با فاصله زمانی مناسب بین مراحل پاشش می‌تواند در کاهش همزمان آلاینده‌های مذکور مؤثر باشد. با استفاده از راهکار پاشش دو مرحله‌ای مقدار دوده و NO_x در گازهای خروجی به ترتیب ۳۳ و ۱۱ درصد کاهش یافت [۱۱].

حاصل از مرحله انبساط کاهش می‌یابد. زمان بهینه جرقه جایی است که بیشینه فشار داخل سیلندر در نزدیکی نقطه مرگ بالا قرار گیرد. این نحوه طراحی باعث می‌شود که در دراز مدت آسیب کمتری به قطعات موتور وارد شود [۱۵].

جینگ سان و همکارانش در پژوهشی به شبیه‌سازی یک موتور اشتغال جرقه‌ای پرداختند. آنها پس از صحه‌گذاری مدل خود به بررسی سیستم کنترلی موتور برای یافتن مقدار بهینه عوامل مختلف در حالت بار چینه‌ای و رابطه میان عوامل مختلف پرداختند [۶].

در پژوهشی اتريج و همکارانش یک موتور پاشش مستقیم سوخت را به صورت عددی در شرایط بار کم و مخلوط سوخت و هوای چینه‌ای شبیه‌سازی کردند. برای این منظور معادلات تغییر حجم، اختلاط سوخت و هوا، انتقال گرما، افشاره سوخت، پیشروی شعله و دیگر معادلات حل شده است. نتایج ارایه شده با نتایج تجربی یک موتور چهار سیلندر پاشش مستقیم سوخت صحه‌گذاری شده است. ایشان زمان پاشش سوخت را تغییر و مقدار تولید گازهای آلاینده را بررسی کرده‌اند. آنها نتیجه گرفتند که با کاهش مدت زمان پاشش سوخت، مقدار آلاینده مونوکسیدکربن افزایش می‌یابد. همچنین این تغییر باعث ایجاد احتراقی ناقص در محفظه احتراق می‌شود که نتیجه آن کاهش دمای احتراق و در نتیجه کاهش تولید آلاینده NO_x می‌شود [۷].

جزایری و همکارانش در پژوهشی روشهای برای الگوسازی شکل‌گیری مخلوط سوخت و هوا با ترکیب کردن مولفه‌های سرعت پاشش و محل قرارگیری افشاره ارائه کرده‌اند. برای انجام این کار تشکیل مخلوط سوخت و هوا با استفاده از نرم افزار فلوئنت^۱، از لحظه شروع پاشش سوخت تا نقطه مرگ بالا در مرحله تراکم شبیه‌سازی شده است. آنها در شبیه‌سازی از افشاره سوخت چرخشی استفاده کرده‌اند و شمع و افشاره هر دو در مرکز سرسیلندر قرار داده شده است. نتایج نشان داده است که هرچه فشار پاشش سوخت بیشتر باشد، غلظت مخلوط در اطراف شمع و همچنین قدرت نفوذ افشاره بیشتر می‌شود. هرچه سوخت در حالت بار چینه‌ای دیرتر پاشش شود، غلظت مخلوط در اطراف شمع و در راستای محور سیلندر بیشتر می‌شود. این مسئله کمک شایانی به پایداری احتراق می‌نماید. همچنین هرچه سطح کاسه روی پیستون بیشتر باشد، سوخت بیشتر روی دیواره پیستون پخش می‌شود در صورتی که اگر سطح کاسه کمتر باشد، تمکز غلظت مخلوط به سمت شمع هدایت می‌شود [۲]. در پژوهشی دیگر نحوه شکل‌گیری مخلوط سوخت و هوا برای سوخت پاشش شده توسط افشارک دارای ۲ افشاره در یک موتور

^۱ Fluent

نتیجه آن افزایش تولید آلاینده هیدروکربن نسخته و کاهش توان تولیدی موتور می باشد [۱۳].

میرمحمدی در پژوهشی یک موتور پاشش مستقیم گاز طبیعی با بار چینهای را شبیه سازی کرده است. برای این منظور برنامه KIVA-3V اصلی برای پاشش سوخت گاز طبیعی اصلاح شده است. نتایج حاصل از شبیه سازی به خوبی عملکرد موتور را پیش بینی کرده است. اختلاف نتایج حاصل از شبیه سازی و نتایج تجربی فشار داخل اتاق احتراق موتور خیلی کم و برابر ۱,۶۲ درصد بوده است. همچنین مقدار NO_x تولیدی موتور با ۳۶ درصد اختلاف با نتایج تجربی به خوبی پیش بینی شده است [۱۴].

اما و همکارانش با استفاده از برنامه KIVA-3V به بررسی اثر زاویه و زمان پاشش سوخت بر نرخ تبخیر و میزان آلاینده‌گی موتور EF7 پرداخته‌اند. نتایج ایشان نشان داد که نرخ تبخیر سوخت با پاشش دیر هنگام سوخت کاهش یافته و با تغییر جهت پاشش به سمت نقاط داغتر نظری سطح بالای دریچه افزایش می‌یابد. ایشان نتیجه گرفتند که زاویه پاشش ۵۷ درجه موجب پاشش سوخت به سمت نقاط داغتر شده و با افزایش نرخ تبخیر سوخت مخلوط با کیفیت بهتر و احتراق بهتری به دست می‌آید. در نتیجه آلاینده‌های هیدروکربن و مونوکسید کربن کاهش و آلاینده NO_x اندکی افزایش می‌یابد [۱۵].

KIVA-3V بوهاس و آسانیس نیز با استفاده از نرم افزار تاثیرات زمان‌بندی دریچه دود را بر کارایی و آلاینده‌گی یک موتور بنزینی مورد بررسی قرار دادند. آنها نشان دادند که زمان‌بندی مناسب باز و بسته شدن دریچه‌ها می‌تواند به مقدار قابل ملاحظه‌ای مقدار مونوکسید کربن را کاهش دهد [۱۶].

روتوندی نحوه شکل‌گیری مخلوط سوخت و هوا و احتراق در یک موتور ۴ سیلندر پاشش مستقیم سوخت دارای انژکتور چرخشی را مورد بررسی قرار داده است. او در این پژوهش پاشش سوخت در حالت‌های همگن (بارهای کامل) و لایه‌ای (بارهای جزئی) را شبیه سازی و صحة‌گذاری کرده است و برای دورهای مختلف موتور و نسبت‌های مختلف EGR به بررسی و مقایسه نتایج پرداخته است. نتایج نشان داده است که اگر جریان پاشش سوخت با جریان داخل سیلندر هماهنگ نباشد، باعث بروز احتراق ناقص و همچنین افزایش مقدار گازهای آلاینده خروجی موتور می‌شود [۱۷].

هدف این پژوهش تعیین زاویه مناسب برای افسانه سوخت طرح پاشش مستقیم موتور EF7 در حالت بار چینهای است. ICEM-CFD حجم محاسباتی موتور به کمک نرم افزار ANSYS شبکه‌بندی و عملکرد موتور به وسیله برنامه کیوا شبیه سازی شد. با انتقال محل افسانه به داخل محفظه احتراق،

با توجه به موارد ذکر شده در بالا پیش‌بینی می‌شود که در آینده بیشتر موتورهای درونسوز بنزینی به صورت تزریق مستقیم در اتاق احتراق، طراحی و تولید شوند. برای شبیه سازی موتور نرم افزارهای مختلف دینامیک سیالات محاسباتی^۱ به کار برد می‌شود. یکی از این نرم افزارها که کاربرد زیادی در شبیه سازی جریان و احتراق و عملکرد دارد، نرم افزار شبیه سازی عددی KIVA-3V می‌باشد.

محققان زیادی برای شبیه سازی فرایندهای مختلف داخل موتور کارهای تحقیقاتی انجام داده‌اند که نتایج آنها را می‌توان در آخرین نسخه برنامه کیوا یافت. این برنامه حاصل سال‌ها تلاش محققان آزمایشگاه لوس آلاموس^۲ می‌باشد و بسیاری از دانشمندان برای بهبود و توسعه قابلیت‌های این برنامه تلاش کرده‌اند. امروزه برنامه کیوا ابزاری بسیار سودمند در زمینه شبیه سازی موتور می‌باشد. کیوا یک برنامه کامپیوتری به زبان برنامه نویسی فرترن^۳ می‌باشد. با استفاده از این برنامه می‌توان مسائل دو بعدی و سه بعدی جریان سیالات همراه با واکنش شیمیایی و افسانه سوخت را حل کرد. در حالی که این برنامه بیشتر برای کاربرد در موتورهای احتراق داخلی توسعه یافته است، از آن می‌توان برای حل جریان‌های آشفته، آرام، مادون صوت، مافوق صوت، تک فازی و دو فازی استفاده کرد. نسخه KIVA-3V قابلیت شبیه سازی سوپاپ‌های متحرک را دارد می‌باشد و به کمک آن می‌توان یک چرخه کامل موتور را از مرحله مکش تا مرحله تخلیه شبیه سازی کرد. با توجه به قابلیت شبیه سازی مزهای متحرک، وجود مدل‌های آلاینده‌گی و افسانه مختلف برای موتورهای احتراقی و دقت زیاد برنامه، امروزه بسیاری از محققان از این برنامه استفاده می‌نمایند [۱۲].

نصیری طوسی و همکارانش در پژوهشی به شبیه سازی عددی احتراق گاز طبیعی به کمک برنامه کیوا پرداخته‌اند. آنها پس از شبکه‌بندی حجم محاسباتی یک موتور به صورت منظم به کمک نرم افزار ICEM-CFD ANSYS تغییرات مقدار آلاینده‌ها را بررسی کرده‌اند. سپس نسبت هم ارزی سوخت به هوا و بازخورانی گازهای خروجی^۴ و اثرات هر کدام از آنها بر توان و آلاینده‌گی موتور را بررسی کرده و برای هر کدام یک مقدار بهینه در هر یک از حالات کاربرد موتور انتخاب کرده‌اند. نتایج به دست آمده نشان داده است که بین کاهش مقدار آلاینده NO_x و افزایش درصد EGR رابطه غیر خطی برقرار است به طوری که نرخ کاهش NO_x در ابتدا بیشتر است. از طرف دیگر با افزایش درصد EGR مدت زمان احتراق افزایش می‌یابد. با زیادتر از حد مجاز شدن درصد EGR احتراق ناقص می‌شود که

¹ Computational Fluid Dynamics

² Los Alamos

³ Fortran

⁴ Exhaust Gas Recycle (EGR)

این پژوهش موتور در حالت بنزین سوز به صورت چرخه بازشیبی‌سازی شده است. مشخصات موتور در جدول شماره ۱ آمده است. همچنین شبکه محاسباتی تولید شده در نرم افزار ICEM-CFD ANSYS در شکل شماره ۱ نشان داده شده است.

برای ایجاد شبکه ابتدا هندسه مورد نظر بلوک‌بندی شد. سپس تعداد سلول‌های محاسباتی هربلوک توسط کاربر مشخص و شبکه پیش فرض ایجاد شد. در نرم افزار ICEM-CFDANSYS شبکه به دو صورت سازمان یافته و غیر سازمان یافته قابل تعریف می‌باشد که برای برنامه KIVA-3V از شبکه محاسباتی سازمان یافته استفاده می‌شود. در پایان اجزای موتور و ناحیه‌های مختلف و ارتباط میان آنها تعریف شد. به این ترتیب با انتخاب گزینه ایجاد فایل خروجی، فایل itape17 ایجاد می‌شود. این فایل به عنوان شبکه محاسباتی ورودی برنامه کیوا استفاده شد.

برای بررسی تعداد مناسب سلول‌های محاسباتی، چندین بار اندازه سلول‌های شبکه تغییر داده شده و کوچک شد. سپس برنامه برای هر یک از این شبکه‌ها اجرا شد. برنامه برای شبکه‌های محاسباتی که دارای ۷۰، ۸۵، ۹۳ و ۱۰۳ هزار سلول بودند اجرا شد. نتایج نشان داد که با افزایش تعداد سلول‌های محاسباتی از ۹۳ هزار سلول به ۱۰۳ هزار سلول، فشار داخل سیلندر به اندازه کمتر از ۲ درصد تغییر کرد. در صورتی که زمان لازم برای اجرای نرم‌افزار به طور قابل ملاحظه‌ای افزایش یافت. به همین دلیل شبکه محاسباتی دارای ۹۳ هزار سلول برای شبیه‌سازی انتخاب شد.

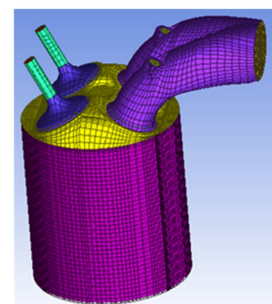
۳- معادلات حاکم در KIVA-3V

معادلات حاکم شامل معادلات پیوستگی، معادلات مقدار حرکت، معادلات انرژی، معادلات بقای اجزای شیمیایی، معادلات آشفتگی و معادلات حالت می‌باشد. با توجه به این که تعداد معادلات در جریان دوفازی برای فازهای گاز و مایع زیاد می‌باشد، ذکر همه معادلات در این مقاله ممکن نیست. برنامه KIVA-3V حل جریان‌های سه بعدی ناپایا، تراکم‌پذیر، متلاطم و واکنشی را به روش حجم محدود انجام می‌دهد که در شبیه‌سازی عملکرد موتورهای درونسوز کاربرد فراوانی دارد. زیر برنامه‌های اصلی به کار رفته در برنامه مذکور عبارت‌اند از: مدل آشفتگی- K برای جریان متلاطم درون محفظه سیلندر، مدل TAB برای شکست قطره، معادله فروسلینگ برای تبخیر، مدل احتراق مانگنوسن-هجرتاگر و آرینیوس و مدل زلدوبیچ توسعه یافته برای محاسبه NO_x . همچنین محاسبه آلینده‌های HC و CO از طریق واکنش‌های تعادلی می‌باشد. تمامی معادلات حاکم در مراجع [۱۸، ۱۹ و ۲۰] آمده است.

زوایای مختلف افشانه مورد بررسی قرار گرفت و با توجه به کار حاصل از احتراق و میزان آلینده‌های خروجی بهترین زاویه برای افشانه انتخاب شد.

جدول ۱- مشخصات موتور ملی (EF7)

تعداد سیلندر	عدد
تعداد دریچه	۱۶ عدد
شعاع سیلندر	۳۹,۳ میلیمتر
کورس پیستون	۸۵ میلیمتر
طول شاتون	۱۴۵ میلیمتر
حجم جایی هرسیلندر	۴۳۰ سی سی
نسبت تراکم	۱۰,۸
زاویه باز شدن دریچه ورودی	۸ درجه زاویه‌لنگ قبل از نقطه مرگ بالا
زاویه بسته شدن دریچه ورودی	۵۶ درجه زاویه‌لنگ بعد از نقطه مرگ پایین
زاویه باز شدن دریچه خروجی	۲۹,۵ درجه زاویه‌لنگ قبل از نقطه مرگ پایین
زاویه بسته شدن دریچه خروجی	۲۴,۵ درجه زاویه‌لنگ بعد از نقطه مرگ بالا
زاویه شروع پاشش سوخت	۲۹ درجه زاویه‌لنگ قبل از باز شدن دریچه ورودی
مدت زمان پاشش سوخت	۲۸۸ درجه زاویه‌لنگ
زاویه شروع جرقه	۱۲ درجه زاویه‌لنگ قبل از نقطه مرگ بالا



شکل ۱- شبکه محاسباتی تولید شده در نرم افزار ANSYS ICEM-CFD

۲- الگو سازی و ایجاد شبکه

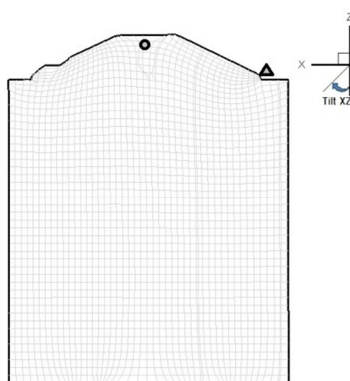
موتور مورد بررسی موتور ملی (EF7) است، که دارای چهار سیلندر بوده و امکان استفاده از بنزین و گاز طبیعی با پایه گازسوز را دارا می‌باشد. این موتور ۱/۷ لیتری و دارای ۱۶ دریچه است که با دو میل بادامک باز و بسته می‌شوند و میل بادامک دریچه‌های ورودی مجهز به سامانه زمان‌بندی متغیر می‌باشد. در

۴- صحه‌گذاری نتایج شبیه‌سازی

در این پژوهش ابتدا برنامه KIVA-3V برای حالت پایه موتور به صورت پاشش در راهگاه ورودی اجرا شد. برای این کار موتور از ۲۹۷ درجه زاویه لنگ زودتر از باز شدن دریچه ورودی یا ۷ درجه زاویه لنگ قبل از شروع پاشش سوخت تا ۱۴۵ درجه زاویه لنگ بعد از باز شدن دریچه خروجی شبیه‌سازی شد. همچنین از موتور واقعی در شرایط موتور گرم و دور موتور ۳۰۰۰ RPM داده‌برداری انجام شد. سپس صحه‌گذاری بین نتایج شبیه‌سازی و نتایج آزمایشگاهی انجام شد. عمل صحه‌گذاری بر اساس فشار درون سیلندر بر حسب زاویه لنگ انجام گردید که نتایج مربوطه در شکل شماره ۲ آمده است. با توجه به شکل شماره ۲ نتایج شبیه‌سازی و تجربی انتباطق قابل قبولی دارند. فقط از ابتدای مرحله احتراق تا رسیدن به حداقل فشار، اختلاف فشار اندکی بین نتایج شبیه‌سازی با مقادیر تجربی مشاهده می‌شود. از مهم‌ترین عوامل بروز این اختلاف جزیی می‌توان به چشم‌پوشی از اصطکاک میان دیواره سیلندر و پیستون در شبیه‌سازی اشاره کرد. همچنین احتمال وجود ناخالصی در سوخت نسبت به بنزین استاندارد، در هنگام کار آزمایشگاهی از دیگر عوامل بروز اختلاف میان نتایج عددی و آزمایشگاهی می‌باشد.

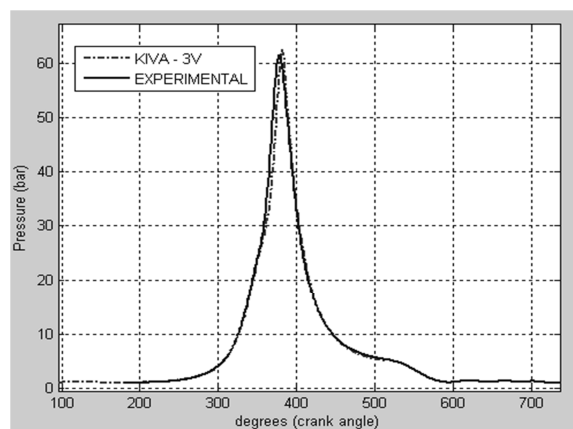
انتباطق بین داده‌های شبیه‌سازی و آزمایشگاهی نشان از دقت بالای شبیه‌سازی یک سیلندر دارد که با هر یک از سیلندرهای موتور واقعی قابل مقایسه می‌باشد. به همین جهت با شبیه‌سازی یک سیلندر می‌توان نتایج را به هر ۴ سیلندر موتور ملی تعمیم داد.

داده‌های آزمایشگاهی در شرکت تحقیق و طراحی و تولید موتور ایران خودرو (ایپکو) داده‌برداری شده است.

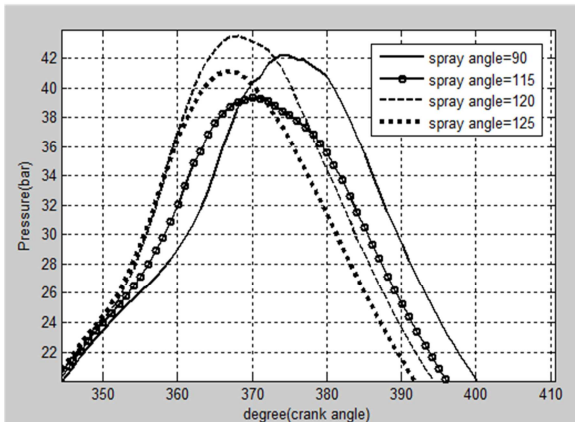


شکل ۳- محل قرارگیری شمع (علامت دایره) و سوخت پاش (علامت مثلث) و زاویه پاشش سوخت (Tilt xz) در صفحه xz و $y=0$ در زاویه لنگ ۱۸۰ درجه

با ثابت نگه داشتن این داده‌ها، زاویه پاشش سوخت در صفحه عمود بر راستای میل لنگ (xz) از ۳۵ تا ۱۳۰ درجه با فاصله ۵ درجه تغییر داده شد. سپس نتایج شبیه‌سازی با یکدیگر

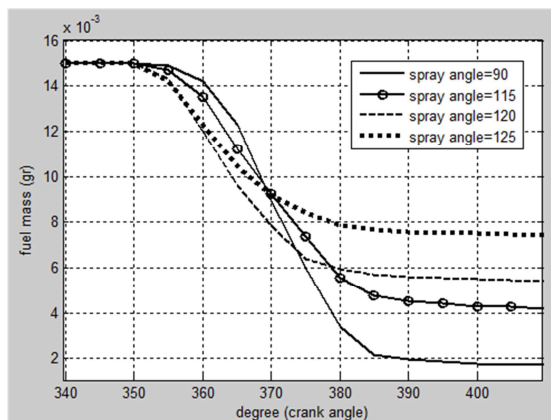


شکل ۲- نمودار فشار داخل سیلندر بر حسب زاویه لنگ

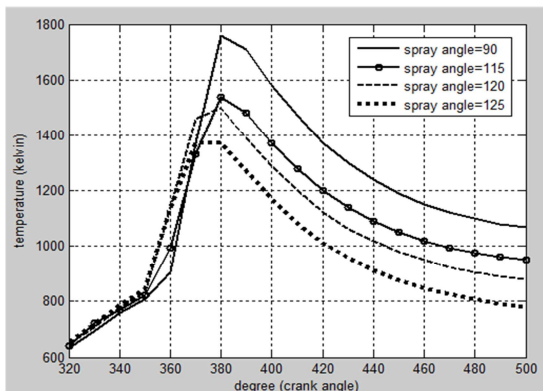


شکل ۴- فشار داخل سیلندر بر حسب زاویه لنگ برای زوایای پاشش ۹۰، ۱۱۵، ۱۲۰ و ۱۲۵ درجه

با زاویه پاشش ۹۰ درجه در زمان خاموشی شعله کمتر از ۰۰۰۲ گرم سوخت باقی مانده است در صورتی که در زوایای دیگر این مقدار بیشتر است و می‌تواند آلایندگی را به شدت افزایش دهد. مقدار دمای میانگین بر حسب زاویه لنگ در شکل شماره ۶ نیز این را نشان می‌دهند.



شکل ۵- مقدار کل سوخت داخل سیلندر بر حسب زاویه لنگ



شکل ۶- مقدار دمای میانگین بر حسب زاویه لنگ

مقایسه گردید. شبکه محاسباتی تولید شده برای سیلندر در صفحه xz و $y=0$ در زاویه لنگ ۱۸۰ درجه و محل قرارگیری شمع و سوخت پاش و زاویه پاشش سوخت (Tilt xz) در شکل ۳ نشان داده شده است.

۶- بررسی نتایج

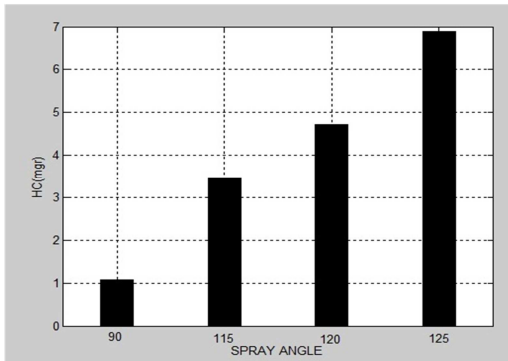
۶-۱- بررسی نتایج فشار داخل سیلندر

زمانی که سوخت بازاویه‌های ۳۵، ۴۰، ۴۵، ۶۵، ۷۰، ۷۵ و ۸۰ درجه در صفحه XZ پاشش شد، سوخت پاشش شده محترق نشد ولی در زوایای دیگر احتراق انجام شد. بهترین نتایج در زاویه‌های پاشش ۹۰، ۱۱۵، ۱۲۰ و ۱۲۵ درجه به دست آمد.

فرآیند احتراق در موتورهای درونسوز می‌تواند به سه بخش اشتغال، پیشروی و انتشار شعله و خاموشی شعله تقسیم شود. اشتغال شعله با ایجاد جرقه شروع می‌شود و معمولاً ۵ تا ۱۰ درصد سوخت در این مرحله محترق می‌شود و افزایش فشار اندکی به دست می‌آید. در مرحله بعد حدود ۸۰ درصد سوخت در مرحله پیشروی شعله محترق می‌شود و فشار داخل سیلندر به صورت قابل توجهی افزایش می‌یابد. در آخر با شروع مرحله خاموشی شعله فشار به سرعت کاهش می‌یابد و مقداری از سوخت محترق و بقیه سوخت به صورت نسوخته در سیلندر باقی ماند. افزایش فشار قبل از نقطه مرگ بالا کار مرحله تراکم را افزایش می‌دهد که این امر تلفات موتور را افزایش می‌دهد. با توجه به این نکته سه بخش فرآیند احتراق در موتور باید به گونه‌ای طراحی شود که کمترین مقدار فشار در قبل از نقطه مرگ بالا و بیشترین مقدار فشار بعد از نقطه مرگ بالا بددست آید.

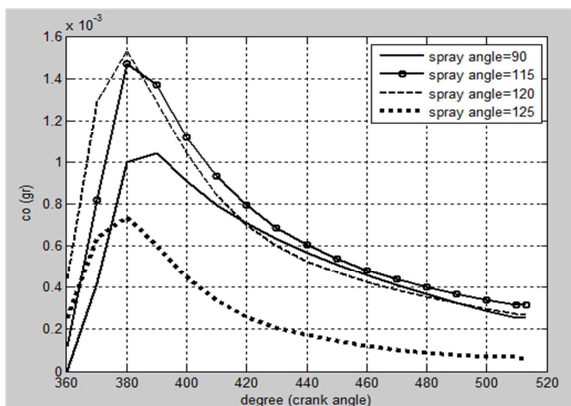
نتایج حل برای فشار بر حسب زاویه لنگ موتور پاشش مستقیم با زوایای پاشش مختلف برای مقایسه در شکل شماره ۴ نشان داده شده است. بیشترین فشار در زاویه پاشش ۱۲۰ درجه به دست آمده است که مقدار آن برابر $43/5$ بار و در ۲۰ درجه زاویه لنگ بعد از شروع جرقه ایجاد شده است. در زاویه ۹۰ درجه بیشترین فشار برابر $42/2$ بار و در ۲۶ درجه زاویه لنگ بعد از شروع جرقه به دست آمده است. مقدار فشار با زاویه پاشش ۹۰ درجه در نقطه مرگ بالا بیشتر از زاویه پاشش ۱۲۰ درجه است و می‌توان نتیجه گرفت انتشار شعله در ۱۲۰ درجه سریعتر از ۹۰ درجه بوده و کار منفی این حالت بیشتر است. این نتیجه از روی داده‌های مقدار سوخت داخل سیلندر بر حسب زاویه لنگ در شکل شماره ۵ مشخص است. در زاویه پاشش ۹۰ درجه سرعت سوختن آرام‌تر بوده و سوخت به خوبی محترق می‌شود. خاموشی شعله در این زاویه تقریباً در ۵۲ درجه زاویه لنگ بعد از شروع جرقه اتفاق می‌افتد.

هیدروکربن نسخته موجود در داخل سیلندر در هنگام باز شدن دریچه‌های خروجی برای زوایای پاشش با زوایای 90° , 115° , 120° و 125° درجه در شکل شماره ۹ نشان داده شده است. این مقدار برای زاویه پاشش 90° درجه دارای کمترین مقدار و برابر 1.07 g میلی‌گرم است.



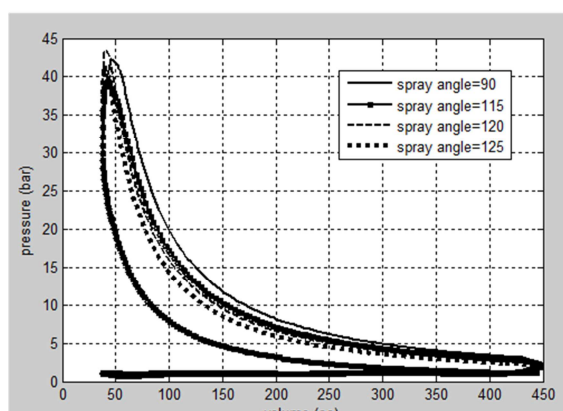
شکل ۹- مقدار هیدروکربن نسخته موجود در داخل سیلندر در هنگام باز شدن دریچه‌های خروجی

مونوکسیدکربن یکی از آلاینده‌هایی است که با شروع احتراق سوخت تولید می‌شود. مونوکسیدکربن در تبدیل به دی‌اکسیدکربن مقداری انرژی آزاد می‌کند. در حالت بار چینهای اکسیژن کافی برای تبدیل مونوکسیدکربن به دی‌اکسیدکربن وجود دارد. با توجه به این که شبیه‌سازی در حالت بار چینهای انجام شده است، مخلوط خیلی فقیر بوده است که همین باعث باقی ماندن مقدار بسیار کمی مونوکسیدکربن و هیدروکربن نسخته در هنگام باز شدن دریچه خروجی است. مقدار مونوکسیدکربن موجود در داخل سیلندر بر حسب زاویه لنگ در شکل شماره ۱۰ نشان داده شده است. مقدار مونوکسیدکربن موجود در هنگام باز شدن دریچه‌های خروجی در زاویه پاشش 125° درجه کمتر از سایر موارد است.

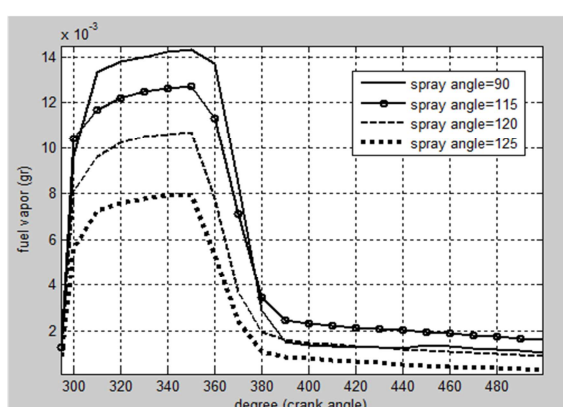


شکل ۱۰- مقدار مونوکسیدکربن موجود در داخل سیلندر بر حسب زاویه لنگ

مقدار مساحت داخل نمودار P-V نشان دهنده مقدار کار است. با توجه به شکل شماره ۷ مشخص است که بیشترین مقدار مساحت داخل شکل در زاویه پاشش 90° درجه به دست می‌آید. در شکل شماره ۸ مقدار کل سوخت بخار شده داخل سیلندر بر حسب زاویه لنگ نشان داده شده است. مشاهده می‌شود که در زاویه پاشش سوخت 90° درجه سوخت بهتر تبخیر می‌شود. منحنی نزولی مقدار سوخت تبخیر شده بعد از زمان شروع جرقه نیز گویای اختلاط بهتر سوخت و هوا و احتراق بهتر سوخت است. در زوایای بیشتر پاشش، به دلیل کاهش طول افشاره سوخت و برخورد سوخت به دیواره محفظه احتراق، تبخیر سوخت و اختلاط سوخت و هوا ضعیفتر می‌شود. کاهش طول افشاره سوخت باعث کاهش پیشروی سوخت در هوا و کاهش چشمگیر مقدار اختلاط سوخت و هوا می‌شود. با افزایش 5° درجه‌ای زاویه پاشش سوخت از 115° درجه تأثیر این تغییر بر کاهش مقدار تبخیر سوخت کاملاً مشخص است.



شکل ۷- فشار داخل سیلندر بر حسب حجم سیلندر

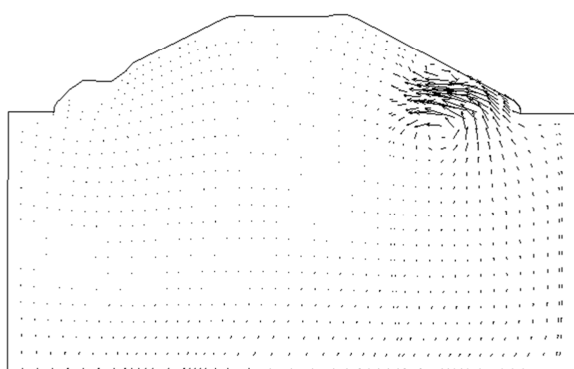


شکل ۸- مقدار کل سوخت بخار شده در سیلندر بر حسب زاویه لنگ

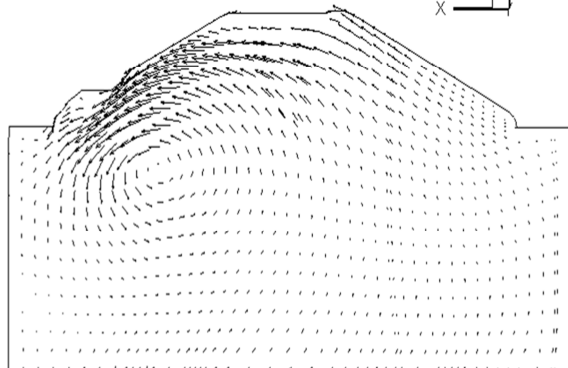
۲-۶- بررسی نتایج آلاینده‌گی
در زاویه پاشش 125° درجه سوخت به صورت کامل محترق نمی‌شود و مقدار هیدروکربن نسخته زیاد است. مقدار

۶-۳- بررسی کیفی نتایج

در این قسمت نتایج به صورت کیفی برای زاویه‌های مختلف بررسی می‌شوند. با توجه به این که پاشش مستقیم سوخت در اتاق احتراق باعث تغییر جریان‌های داخل سیلندر می‌شود، ابتدا عامل افسانه سوخت با گاز فشرده داخل سیلندر ترسیم شده است. بردارهای سرعت در صفحه xz و $y=0$ در ۱ و ۱۰ درجه زاویه لنگ بعد از شروع پاشش سوخت برای افسانه با زاویه پاشش ۹۰ درجه در شکل‌های شماره ۱۳ و ۱۴ و در ۱۰ درجه زاویه لنگ بعد از شروع پاشش سوخت برای افسانه با زاویه پاشش ۱۲۰ درجه در شکل شماره ۱۵ ترسیم شده است. همانطور که مشاهده می‌شود پیش روی افسانه سوخت باعث توسعه و ایجاد بردارهای سرعت با اندازه‌های بزرگ‌تر در تمام اتاق احتراق می‌شود. این امر باعث تبخیر و احتراق بهتر می‌شود.



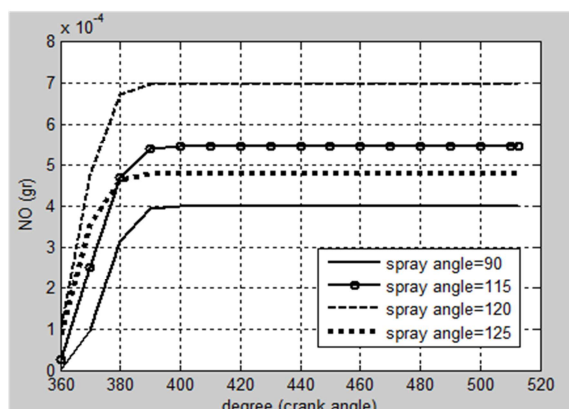
شکل ۱۳- بردارهای سرعت در صفحه xz و $y=0$ با زاویه پاشش ۹۰ درجه در ۱ درجه زاویه لنگ بعد از شروع پاشش سوخت



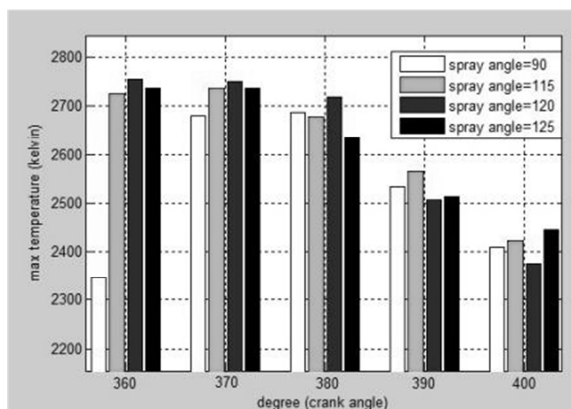
شکل ۱۴- بردارهای سرعت در صفحه xz و $y=0$ با زاویه پاشش ۱۰ درجه زاویه لنگ بعد از شروع پاشش سوخت

دلیل این امر عدم احتراق مقدار زیادی از سوخت است. ولی در موارد دیگر این مقدار تقریباً برابر است. مقدار تولید اکسید نیتروژن به شدت به دما وابسته است و ثابت تعادل در معادله تولید آن با افزایش دما افزایش می‌یابد. با شروع احتراق دما افزایش می‌یابد و تولید اکسید نیتروژن نیز شروع می‌شود. با خاتمه احتراق تولید اکسید نیتروژن قطع و مقدار آن در داخل سیلندر ثابت می‌ماند. کاهش دمای داخل سیلندر که به علت احتراق خیلی فقیر می‌باشد، باعث کاهش تولید اکسید نیتروژن شده است.

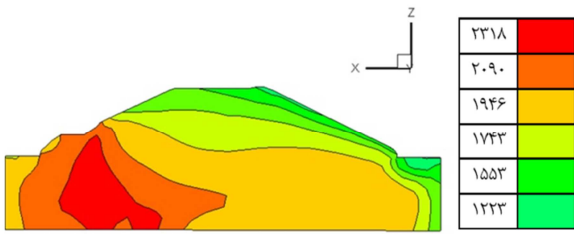
مقدار تولید اکسید نیتروژن بر حسب زاویه لنگ در شکل شماره ۱۱ نشان داده شده است. بیشترین مقدار تولید اکسید نیتروژن در زاویه پاشش ۱۲۰ درجه و کمترین مقدار در ۹۰ درجه به دست می‌آید. در شکل شماره ۱۲ مقدار بیشترین دمای داخل سیلندر در ۱۲، ۱۲، ۳۲، ۲۲، ۴۲ و ۵۲ درجه زاویه لنگ بعد از شروع جرقه نشان داده شده است. مقدار تولید اکسید نیتروژن رابطه مستقیم با مقدار بیشترین دمای داخل سیلندر دارد. از ۴۲ درجه زاویه لنگ بعد از شروع جرقه به بعد با کاهش دما تولید اکسید نیتروژن قطع می‌شود.



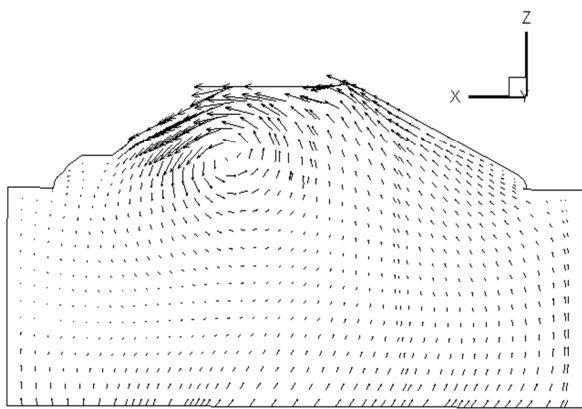
شکل ۱۱- مقدار تولید اکسید نیتروژن بر حسب زاویه لنگ



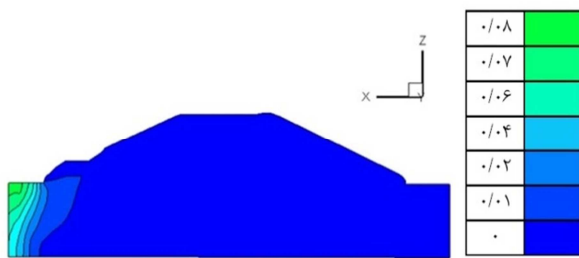
شکل ۱۲- حداقل دمای داخل سیلندر در ۱۲، ۱۲، ۳۲، ۲۲، ۴۲ و ۵۲ درجه زاویه لنگ بعد از شروع جرقه



شکل ۱۸- مقادیر هم مرتبه دما در صفحه xz و $y=0$ با زاویه پاشش ۹۰ درجه برای افشاره با زاویه پاشش ۹۰ درجه در ۱۱۰ درجه زاویه لنج بعد از شروع پاشش سوخت



شکل ۱۵- بردارهای سرعت در صفحه xz و $y=0$ با زاویه پاشش ۱۰ درجه زاویه لنج بعد از شروع پاشش سوخت



شکل ۱۹- مقادیر هم مرتبه جز جرمی سوخت در صفحه xz و $y=0$ برای افشاره با زاویه پاشش ۹۰ درجه در ۱۱۰ درجه زاویه لنج بعد از شروع پاشش سوخت

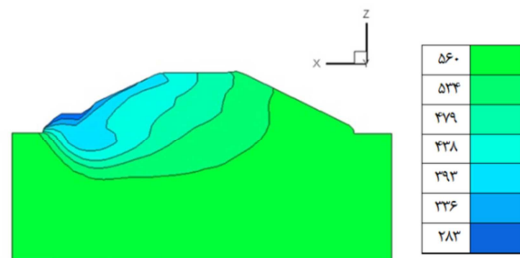
در جدولهای شماره ۲ و ۳ نتایج شبیه‌سازی‌های مختلف در زاویه‌های پاشش ۹۰، ۱۱۵، ۱۲۰ و ۱۲۵ درجه آمده است.

جدول ۲- مقدار بیشترین فشار داخل سیلندر، مقدار کار، مقدار دمای میانگین و بیشترین دمای سیلندر در زوایای پاشش مختلف

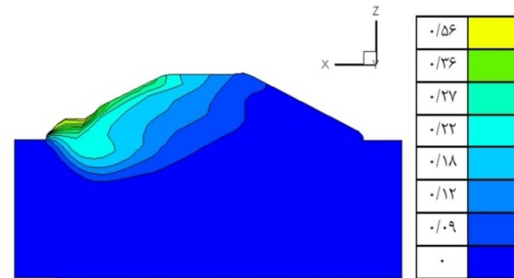
زاویه پاشش در صفحه xz	بیشترین فشار داخل سیلندر (بار)	مقدار کار (ژول)	مقدار میانگین دمای سیلندر (کلوین)	بیشترین دمای سیلندر (کلوین)
۹۰ درجه	۴۲/۲	۲۵۲/۸۶	۱۵۸۴	۲۶۸۶
۱۱۵ درجه	۳۹/۳	۱۹۸/۰۵	۱۳۷۳/۲	۲۷۳۶
۱۲۰ درجه	۴۳/۵	۱۷۹/۰۶	۱۲۸۵/۶	۲۷۵۶
۱۲۵ درجه	۴۱/۱	۱۴۲/۳۷	۱۱۶۷	۲۷۳۷

۷- نتیجه‌گیری

با مقایسه نتایج شبیه‌سازی‌ها، زاویه پاشش ۹۰ درجه به عنوان بهترین زاویه پاشش سوخت در شرایط کاری تعیین شده برای موتور ملی پیشنهاد می‌شود. در این حالت سوخت و هوای بهتر مخلوط می‌شود. فشار داخل سیلندر در این زاویه پاشش به خوبی افزایش می‌یابد و کار حاصل در این زاویه پاشش از زوایای دیگر بیشتر است. همچنین مقدار هیدروکربن نسوخته و تولید اکسید نیتروزن به طور چشمگیری کمتر از موارد دیگر است.



شکل ۱۶- مقادیر هم مرتبه دما در صفحه xz و $y=0$ برای افشاره با زاویه پاشش ۹۰ درجه در ۱۰ درجه زاویه لنج بعد از شروع پاشش سوخت



شکل ۱۷- مقادیر هم مرتبه جز جرمی سوخت در صفحه xz و $y=0$ برای افشاره با زاویه پاشش ۹۰ درجه در ۱۰ درجه زاویه لنج بعد از شروع پاشش سوخت

- [5] Sanaye S., Mokhtarifard A., "Simulation of performance cycle and forecasting of performance parameters in spark ignition engines", The Journal of Engine Research, vol. 13, pp. 53-65, 2008.
- [6] Sun, J., Kolmanovsky, L., Breob, D., Cook, J., Buckland, J., and Haghgoie, M., "Modeling and control of gasoline direct injection stratified charge (DISC) engines", IEEE 0-7803-5446-X/99, 1999.
- [7] Etheridge, J., Mosbach, S., Kraft, M., Wu, H., Collings, N., "Modelling soot formation in a DISI engine", Proceedings of the Combustion Institute 33 pp. 3159-3167, 2011.
- [8] Nishida, K., Tian, J., Sumoto, Y., Long, W., Sato, K and Yamakawa, M., "An experimental and numerical study on sprays injected from two-hole nozzles for DISI engines", Contents Lists Available at ScienceDirect, Fuel 88, pp. 1634-1642.
- [9] Ding, N., Weimin, G., Ming, C. and Xiao-mao, Z., "Spray Characteristics of New Generation Multi-hole Injector for Spark-ignition Gasoline Engines with Direct Fuel Injection", IEEE 978-0-7695-4080-1/10, 2010.
- [10] Xiaolong, Y., Jia, Y. and Kaiyao, H., "The effect of injector position on the performance of a homogeneous direct injection gasoline engine", IEEE 978-1-4244-8039-5/11, 2011.
- [11] Poorghasemi, k., Ommi, F., Esfahanian, V., Tanabi, H., "Investigation of the soot and NO emission reduction mechanism in DI diesel engines by means of split injection strategy", The Journal of Fuel and Combustion, vol 2, 2011.
- [12] Ghafouri, J., Doustdar, M. M., Pirouzpanah, V., "Numerical simulation of a DI diesel engine in full and in partial loads", Aerospace Mechanics Journal, vol. 4, no. 2, pp. 57-70, 2011.
- [13] Nasiry toosi, a., Sadeghy, h., "Analysis of the effect of air to fuel ratio and EGR in gas engine Performance and Emissions", 13th Annual International Conference on Mechanical Engineering, Isfahan University, 2005.
- [14] Mirmohamadi, A., "Natural Gas Direct Injection Stratified Charge with Sparke Ignition Engines Modeling", ph.d thesis, Tarbiat Modares Univercity, September 2011.
- [15] Ommi, F., Farajpor, M., Mirmohamadi, A., "Numerical study of injection timing and angle effect on rate of fuel evaporation and emissions of multi point injection gasoline engine", Aerospace Mechanics Journal, vol. 5, no. 1, pp. 51-62, ,2009.
- [16] Bohac, S. and Assanis, D., "Effect of exhaust valve timing on gasoline engine performance and hydrocarbon emissions", SAE Technical pp. 2004-01-3058, 2004.
- [17] Rotondi, R., "Modeling mixture formation in a gasoline direct injection engine, Journal of Applied Mechanics", vol. 73, 2006.
- [18] Amsden, A. A., O'Rourke, P. J., Butler, T. D., "KIVA-II: A computer program for chemically reactive flows with sprays", Los Alamos National Laboratory, 1989.

جدول ۳- مقدار هیدروکربن نسخته، مونوکسیدکربن و اکسید

نیتروژن موجود در زمان باز شدن دریچه های خروجی در زاویه

پاشش ۹۰، ۱۲۰ و ۱۲۵ درجه

XZ	زاویه پاشش در صفحه	مقدار هیدروکربن نسخته در زمان بازشدن دریچه های خروجی (میلی گرم)	مقدار مونوکسیدکربن در زمان باز شدن دریچه های خروجی (میلی گرم)	مقدار اکسید نیتروژن در زمان باز شدن دریچه های خروجی (میلی گرم)
۹۰ درجه	۹۰	۱,۰۷	۰,۲۵۵	۰,۳۹۹
۱۱۵ درجه	۱۱۵	۳۴۶	۰,۳۱۵	۰,۵۴۵
۱۲۰ درجه	۱۲۰	۴,۷۲	۰,۲۶۸	۰,۶۹۵
۱۲۵ درجه	۱۲۵	۶,۸۹	۰,۰۵۵۷	۰,۴۷۷

در زاویه های پاشش ۹۰ و ۱۲۰ درجه بیشترین مقدار فشار ایجاد می شود. مقدار بیشترین فشار در زاویه پاشش ۹۰ درجه ۲,۹ درصد نسبت به ۱۲۰ درجه کمتر است ولی مقدار کار انجام شده در یک چرخه ۲۹/۲ درصد بیشتر است. مقدار تولید آلاینده های هیدروکربن نسخته و اکسید نیتروژن در زاویه پاشش ۹۰ درجه به ترتیب ۷۷ و ۴۲۶ درصد و تولید مونوکسیدکربن ۴۸ درصد کم تر از زاویه پاشش ۱۲۰ درجه است.

تشکر و قدردانی

نویسنده های این مقاله از شرکت تحقیق و طراحی و تولید موتور ایران خودرو (ایپکو) به دلیل در اختیار گذاشتن نتایج تجربی موتور شبیه سازی شده کمال تشکر و قدردانی خود را اعلام می دارند.

مراجع

- [1] Siano, d., "Fuel injection", Book, Published by Scivo, Janeza Trdine 9, 51000 Rijeka, Croatia, 2010.
- [2] Jazayeri, S. A., Zia Basharhagh M., Bavandpor M., and Keshavarz M., "Analysis of air fuel mixture formation in gasoline direct injection SI engines", The Journal of Engine Research, vol. 13, pp. 45-52, 2008.
- [3] Alex, C., Alkidas, S., Tahry, E., "Contributors to the fuel economy advantage of DISI engines over PFI engines", SAE technical pp. 2003-01-3101, 2003.
- [4] Montazeri-Gh M., Naderpour A. "Simulation of fuel consumption and exhaust emissions in dual fuel samand vehicle and verification with NEDC modal test results", The Journal of Engine Research, vol. 15, pp. 11-16, 2009.

- [19] Amsden, A. A., "A KIVA program with Block-Structured mesh for complex geometries", Los Alamos National Naboratory.
- [20] Amsden, A. A., "Block-Structured KIVA program for engines with vertical or canted valves", Los Alamos National Laboratory, 1997.
- [21] Ashgriz, N., "Handbook of atomization and sprays: theory and applications", springer, 2011.
- [22] Sementa P., Vaglieco B., Catapano F., "Thermodynamic and optical characterizations of a high performance GDI engine operating in homogeneous and stratified charge mixture conditions fueled with gasoline and bio-ethanol", Fuel 96 204–219, 2012.